

06.3

ПОЛЯРИЗАЦИОННЫЕ ЭФФЕКТЫ МАГНИТООПТИЧЕСКОЙ ДИФРАКЦИИ В ГЕОМЕТРИИ ПОЛНОГО ВНУТРЕННЕГО ОТРАЖЕНИЯ

Ю.Ф. В и л е с о в, В.Г. В и ш н е в с к и й,
Н.А. Г р о ш е н к о

Теоретическому и экспериментальному изучению магнитооптической дифракции (МОД) в настоящее время уделяется достаточно большое внимание [1–6]. Однако, как отмечено в [4], обычно взаимодействие света с магнитной дифракционной решеткой (МДР) рассматривается без учета отражения падающего и дифрагирующего пучков на поверхностях образца. С другой стороны, повсеместно анализируются материалы с одним и тем же типом магнитной анизотропии – „легкая ось” (магнитный момент ориентирован по нормали к плоскости образца), а исследование поляризационных зависимостей высших порядков дифракции вообще не проводилось. Кроме того, угол, под которым распространяется пучок O -го порядка в образце, не превышал угол полного внутреннего отражения (ПВО). В целом же экспериментальный материал в этой области явно недостаточен.

В настоящей работе приведены экспериментальные результаты исследования поляризационных эффектов МОД при углах распространения света в образце, превышающих угол ПВО на границе магнитный слой–воздух. Изучены зависимости поляризационных эффектов от периода МДР и угла распространения светового пучка. В эксперименте использованы эпитаксиальные пленки висмутодержащих феррит–гранатов (ЭПФГ) состава $(BiLuCa)_3(FeGe)_5O_{12}$, выращенные как на плоских подложках галлий–гадолиниевого граната (ГГГ), так и на ГГГ–призмах ПВО. В первом случае для ввода излучения в эпитаксиальный слой использовались комбинации призм из стекла К8 на иммерсионном контакте. Фактор качества в образцах варьировался целенаправленно, так что стало возможным сравнивать особенности МОД в ЭПФГ с различной анизотропией.

Методика эксперимента состояла в следующем. Регулярная МДР в исследуемых ЭПФГ индуцировалась внешними пространственно–периодическими полями. Периоды полей составляли 20, 30, 40, 50, 60, 70, 80, 80, 110, 130, 150 мкм, а номинальные амплитуды оценены в 100–120 Э. Лазерное излучение ($\lambda = 0.63$ мкм), проходя последовательно линейный поляризатор и фазовую пластину, дифрагировало на индуцированной МДР и собиралось в фокальной плоскости объектива, где размещался фотоприемник. Преобразование поляризации от P к S осуществлялось поворотом полуволновой пластины на 90° с интервалом 10° . Преобразование поляризации из плоской в циркулярную осуществлялось поворотом четвертьволновой пластины.

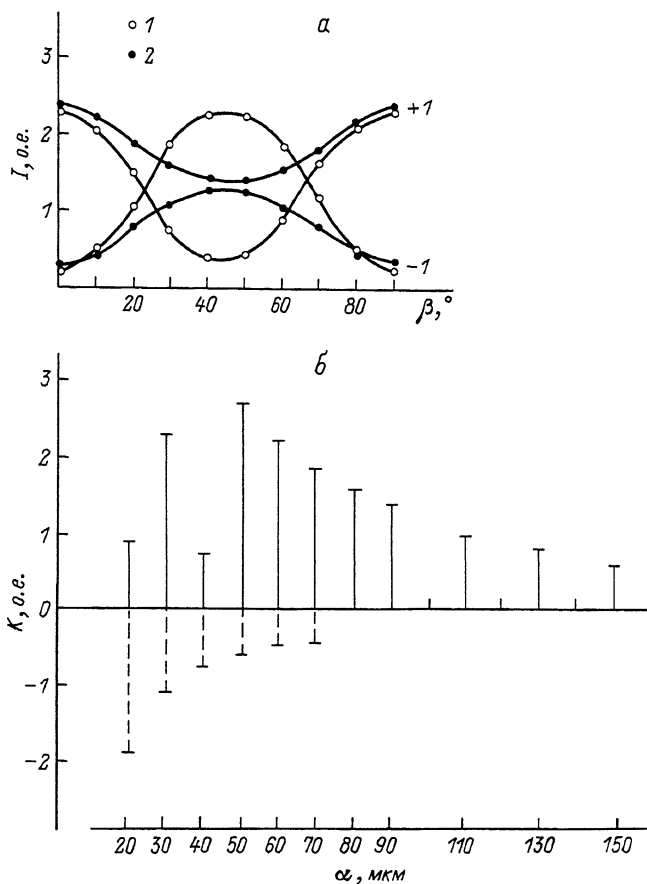


Рис. 1. а) Зависимость интенсивностей первых порядков дифракции от поляризации входного пучка. 1 - зависимость интенсивностей от азимута поляризации β , 2 - зависимость интенсивностей от угла поворота четвертьволновой пластины. Образец № 1 - ЭПФГ с анизотропией типа „легкая плоскость”. Период МДР 50 мкм.
 б) Зависимость глубины модуляции интенсивности первых порядков дифракции от периода МДР. Сплошная линия - образец № 1 с анизотропией „легкая плоскость”, прерывистая - образец № 2 с анизотропией „легкая ось”.

Результат измерения интенсивностей +1-го и -1-го порядков дифракции при изменении азимута поляризации β входного пучка показан на рис. 1, а. Изменение β приводит к перераспределению энергии между порядками разных знаков. Преобразование плоской поляризации в циркулярную также приводит к перераспределению

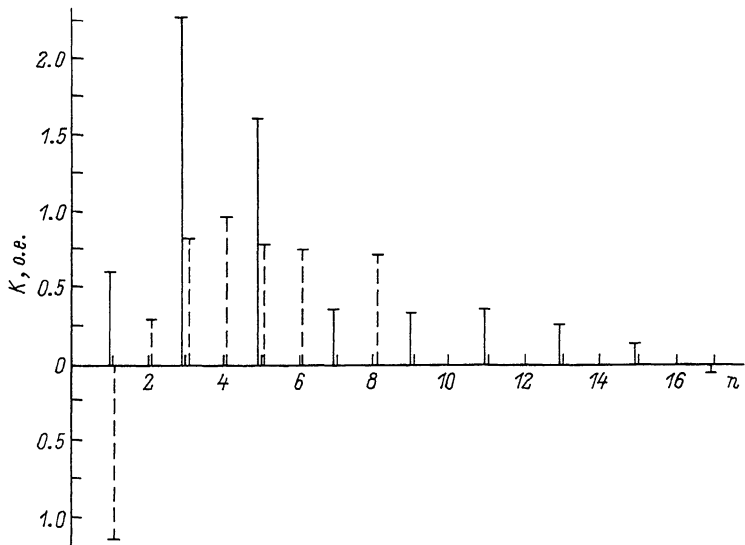


Рис. 2. Зависимость колебаний интенсивности от номера порядка дифракции. Сплошная линия—образец № 2 („легкая ось”), прерывистая—образец № 3 („легкая плоскость”).

энергии между порядками дифракции. Причем эффективности +1-го и -1-го порядков при циркулярной поляризации примерно равны. Отсюда следует, что МДР работает как поляризатор. В +1-й порядок идет Р-поляризация, в -1-й - S-поляризация.

Зависимость поляризационных свойств от периода МДР характеризует рис. 1, б. По оси ординат отложена глубина модуляции K , определяемая отношением интенсивностей проdifрагировавшего пучка при ρ и s поляризациях ($K = \ln \frac{I_\rho}{I_s}$). По оси абсцисс — период d МДР. Из рисунка видно, что образцы с анизотропией типа „легкая плоскость” и „легкая ось” имеют разный знак параметра K для 1-х порядков дифракции.

Рис. 2 иллюстрирует зависимость глубины модуляции от номера n порядка дифракции. В ЭПФГ с анизотропией „легкая плоскость” параметр K для первого и высших порядков имеет разный знак (до восьмого порядка включительно). В ЭПФГ с анизотропией типа „легкая ось” K для первого порядка и для высших имеет один знак. С повышением номера порядка, начиная с 3-го, наблюдается уменьшение K и в области 15-го порядка происходит изменение знака K на противоположный.

В областях углов распространения света в магнитной пленке от 29° до 40° изменения параметра K незначительны.

Результаты проведенных экспериментов могут найти применение в устройствах, так или иначе использующих МОД. Например, изме-

ряться могут не непосредственно интенсивности продифрагировавших пучков света, а их колебания. Кроме того, МДР проявляет свойства поляризатора и может служить для разделения пучков света не только по длине волны, но и по поляризации.

Список литературы

- [1] Семенцов Д.И. // Кристаллография. 1981. Т. 26. В. 4. С. 753-757.
- [2] Семенцов Д.И., Губарев А.П. // Оптика и спектроскопия. 1982. Т. 53. В. 3. С. 501-506.
- [3] Морозов А.М., Семенцов Д.И. // Оптика и спектроскопия. 1983. Т. 54. В. 2. С. 308-311.
- [4] Семенцов Д.И. // Оптика и спектроскопия. 1988. Т. 64. В. 4. С. 879-883.
- [5] Наскаль Н. // IEEE Trans. Magn. 1970. V. 6. Р. 542-545.
- [6] Кинлов В., Ламбек М. // Physika. 1975. V. 80B. N 1-4.

Симферопольский
государственный
университет им. М.В. Фрунзе

Поступило в Редакцию
18 марта 1989 г.

Письма в ЖТФ, том 15, вып. 13 12 июля 1989 г.
05.4; 09

НЕСТАЦИОНАРНЫЙ ЭФФЕКТ ДЖОЗЕФСОНА
У $Ti_2Ca_2Ba_2Cu_3O_{10+x}$

Б.А. Аминов, А.И. Акимов,
Н.Б. Брандт, Нгуен Минь Тху,
М.В. Судакова, Ю.А. Пирогов,
Я.Г. Пономарев

В настоящей работе исследовано воздействие внешнего СВЧ-поля на вольт-амперные характеристики (ВАХ) джозефсоновских переходов на микротрецинах (break junctions) на базе $Ti_2Ca_2Ba_2Cu_3O_{10+x}$ с критической температурой $T_c = (106 \pm 108)$ К. Образцы ВТСП были изготовлены по керамической технологии [1, 2]. Микротрецины в образцах создавались с помощью модифицированного метода, предложенного в [3].

Бруски ВТСП прямоугольной формы с размерами $0.8 \times 0.8 \times 3.0$ мм³ приклеивались к столику из стеклопластика с помощью эпоксидного клея. Токовые и потенциальные пятаки из медной фольги толщиной 0.1 мм находились по краям столика. После полимеризации эпоксид-